



Determining Effective Factors on Gorganrood River Flooding and Micro-Zoning of Flood Risk Analysis in Aq’Qala County Using AHP Method

Kamran Ganji ^a, Saeid Gharechelou ^{b*}, Ahmad Ahmadi ^c

^a MSc in Water and Hydraulic Structures, Faculty of Civil Engineering, Shahrood University of Technology, Shahrood, Iran

^b Assistant Professor, Faculty of Civil Engineering, Shahrood University of Technology, Shahrood, Iran

^c Associate Professor, Faculty of Civil Engineering, Shahrood University of Technology, Shahrood, Iran

Received: 19 March 2021

Revised: 20 July 2021

Accepted: 27 July 2021

Abstract

The main goal of this study was to investigate the effective factors on the flooding of Gorganrood River in A' Qll a County with emphasis on March 2019 Flood event. In this research 18 sub-criteria that play imperious role in creating flood inundation were identified. According to time series flood mapping, technical process of satellite data, field survey, ddd ssss ll tigg with fl'''' experts, the sub-criteria were compared in each pairs using the AHP questionnaire, and their final weights were determined using Expert Choice software. Topographic and morphological sub-criteria with weights of 0.353 and 0.333 had the most impact on the occurrence of inundating, respectively. Based on the rssll t% 14%1%%. ff A' Qll t tttt t vvvv ltttt ii i n vrry low hazard zone (the western and the southern regions due to their suitable topography and distance from the Gorganrood river), 18.1% in ewwrrrr r eeee etee rrr twwsst ff tee A' Qala due to existence of swampland and salty plains), 11%5% mrrrrr tte rrrrr r eeee etee rrr trrr n ff tee A' Qll a eee to wwmnyy ddd ii lly ttt rr e ddd ttt rrr n ff tee A' Qll), 2%66% ii hh rrrrr r eeee etee tttt ssss t ff A' Qll a eee to closeness to the Gorganrood river buffer zones and tributaries of the Qarasou river, and the western areas due to the unsuitable morphological conditions and low gradient of Gorganrood bed river), 26.1% in very-high hazard zone (t.. milll e ff A' Qll a eee to ll ii''' trrrrr rrrr , and qualitative buffer zones of the Gorganrood river due to unsuitable morphological conditions). Canalization of outer arch meanders in Sallaq Yilqi to Gangirma villages, widening and dredging the river channel tt A' Qll a historic bridge, drainage and digging a detour channel according to topographic conditions in middle ll ii cc emm iittt e tff f lr rr rrrr r rt t AA A' Qll y yyyy

Keywords: A''Qll FF Fddd Hazard Map, Gorganrood River, AHP, GIS

*. Corresponding Author: Saeid Gharechelou E-mail: sgharachelo@shahroodut.ac.ir Tel:023 32300259

How to cite this Article: Ganji, K., Gharechelou, S., Ahmadi, A. (2022). Determining Effective Factors on Gorganrood River Flooding and Micro-Zoning of flood Risk Analysis using APP Method. *Journal of Geography and Environmental Hazards*, 10(4), 25-47.

doi: 10.22067/geoeh.2021.68419.1011



Journal of Geography and Environmental Hazards are fully compliant with open access mandates, by publishing its articles under Creative Commons Attribution 4.0 International License (CC BY 4.0).

Geography and Environmental Hazards

Volume 10, Issue 4 - Number 40, Winter 2022

<https://geoeh.um.ac.ir>

 <https://dx.doi.org/10.22067/geoeh.2021.68419.1011> 

جغرافیا و مخاطرات محیطی، سال دهم، شماره چهلم، زمستان ۱۴۰۰ صص ۲۵-۴۶

مقاله پژوهشی

تعیین عوامل مؤثر بر سیل خیزی رودخانه گرگانرود و ریز پهنه‌بندی خطر سیلاب شهرستان آق قلا با استفاده از تحلیل سلسله مراتبی AHP

کامران گنجی- کارشناس ارشد آب و سازه‌های هیدرولیکی، دانشکده مهندسی عمران، دانشگاه صنعتی شاهرود، شاهرود، سمنان، ایران

 سعید قره‌چلو^۱- استادیار گروه نقشه‌برداری، دانشکده مهندسی عمران، دانشگاه صنعتی شاهرود، شاهرود، سمنان، ایران

احمد احمدی- دانشیار گروه مهندسی آب و محیط‌زیست، دانشکده مهندسی عمران، دانشگاه صنعتی شاهرود، شاهرود، سمنان، ایران

تاریخ دریافت: ۱۳۹۹/۱۲/۲۹ تاریخ تصویب: ۱۴۰۰/۵/۵

چکیده

هدف از تحقیق حاضر بررسی معیارهای مؤثر در سیل خیزی رودخانه گرگانرود در محدوده شهرستان آق قلا است. پنج معیار کلی و ۱۸ زیرمعیار فرعی مؤثر در ایجاد سیلاب رودخانه گرگانرود و شهرستان آق قلا، شناسایی و با روش سلسله مراتبی AHP معیارها و زیرمعیارها وزن دهنی شده و لایه‌های آن‌ها در نرم‌افزار ArcMap همپوشانی و نقشه خطر سیل شهرستان آق قلا تهیه شد. معیارهای توپوگرافی و مورفلوژی به ترتیب با اوزان ۰/۳۵۳ و ۰/۲۳۳ بیشترین تأثیر در به وجود آمدن سیلاب را داشتند. ۱۴/۱۹ درصد از مساحت شهرستان آق قلا در پهنه خطر خیلی کم (مناطق غربی و جنوبی شهرستان با توجه به توپوگرافی مناسب و دور بودن از حریم رودخانه)، ۱۸/۱ درصد در پهنه خطر کم (شمال غرب شهرستان با توجه به وجود مناطق باتلاقی و سوره‌زار)، ۱۱/۹۵ درصد در پهنه خطر متوسط (شمال شهرستان با توجه به باتلاقی و تپه‌ماهوری بودن منطقه و جنوب شهرستان)، ۲۹/۶۶ درصد در پهنه خطر زیاد (جنوب شرق شهرستان به دلیل نزدیکی به رودخانه گرگانرود و زیرشاخه‌های رودخانه قره‌سو و غرب شهرستان به دلیل شرایط نامناسب مورفلوژی و شب بسیار کم بستر رودخانه) و ۲۶/۱ درصد از شهرستان آق قلا در پهنه

Email: sgharachelo@shahroodut.ac.ir

۱ نویسنده مسئول: ۰۲۳۳۲۳۰۰۲۵۹

نحوه ارجاع به این مقاله:

گنجی، کامران؛ قره‌چلو، سعید؛ احمدی، احمد؛ احمدی، احمد؛ ۱۴۰۰. تعیین عوامل مؤثر بر سیل خیزی رودخانه گرگانرود و ریز پهنه‌بندی خطر سیلاب شهرستان آق قلا با استفاده از تحلیل سلسله مراتبی AHP. جغرافیا و مخاطرات محیطی. ۱۰(۴).
<https://dx.doi.org/10.22067/geoeh.2021.68419.1011> صص ۲۵-۴۶

خطر خیلی زیاد (مرکز شهرستان و اطراف رودخانه گرگانروود با توجه به وضعیت توپوگرافی و مورفولوژی رودخانه) قرار دارند. دیواره‌سازی و تثبیت قوس خارجی پیچانرودها در محدوده روستاهای سلاقلقی تا قانقرمه، لاپرواپی رودخانه در نزدیکی پل‌ها، تغییر کاربری اراضی متجاوز به حریم رودخانه، لاپرواپی و بسترسازی مناسب در محدوده شهری رودخانه گرگانروود و زهکشی و کانال‌کشی مناسب با شرایط توپوگرافی مناطق مرکزی شهرستان از اقداماتی است که به کاهش خطر سیل در شهرستان آق‌قلا کمک می‌نماید.

کلیدواژه‌ها: آق‌قلا، نقشه خطر سیلاب، رودخانه گرگانروود، GIS، AHP

۱- مقدمه

بدون شک سیلاب به عنوان یک بلاعی طبیعی شناخته شده است که از نظر تلفات جانی و مالی مهیب‌ترین بلاعی طبیعی در جهان محسوب می‌شود (آذرنگ، ۱۳۹۵). کشور ایران با توجه به اقلیم مدیترانه‌ای به لحاظ سیل خیزی چهارمین کشور دنیاست و سالانه خسارات زیادی را در این زمینه متحمل می‌شود. روند افزایش سیل در پنج دهه اخیر نشان می‌دهد که تعداد وقوع سیل در دهه ۹۰ نسبت به دهه ۴۰ تقریباً ۱۲ برابر شده است (عبدی‌ثزاد، ۱۳۹۴). بررسی دقیق مجموعه عوامل طبیعی که زمینه‌ساز این بلاعی هستند، نشان می‌دهد که دحالت انسان در چرخه طبیعت از طریق تخریب پوشش گیاهی، کاربری غیراصولی اراضی، توسعه سطوح غیرقابل نفوذ و دیگر موارد، احتمال سیل خیزی را در مناطق گوناگون افزایش داده است (درخشان، ۱۳۸۵). درنتیجه پنهان جریان سیلاب‌ها گسترش یافته و زمین‌های بیشتری در هنگام طغیان رودخانه‌ها تحت تأثیر قرار می‌گیرند و گاهی خسارت جانی و مالی زیادی را به بار می‌آورد (حسین‌زاده، ۱۳۹۴). افزایش سطوح نفوذناپذیر، که ناشی از احداث ساختمان در خاک‌های نفوذناپذیر است، طبعاً از سطوح نفوذناپذیر حوضه، که قادر به جذب بخشی از بارندگی است، کاسته و درنتیجه بر حجم کل رواناب شهر افزوده است و باعث ازدیاد حجم و شدت رواناب و وقوع سیلاب در مناطق پایین‌دست می‌شود (صالحی، ۱۳۹۲). سیلاب‌ها نه تنها در نواحی برون‌شهری بلکه در نواحی شهری نیز آسیب‌های فراوانی به بار می‌آورد. شدت این آسیب‌ها گاهی در نواحی شهری بیش از نواحی برون‌شهری است (بدیعی‌زاده، ۱۳۹۱). در به وجود آمدن سیلاب‌های شهری علل مختلفی وجود دارد که می‌توان به عبور رودخانه‌های حفاظت نشده از میان شهرها، تجاوز به حریم رودخانه‌ها و از بین بردن مورفولوژی آنها، تغییرات اقلیمی و بارش با شدت بالا در مدت زمان کم، افزایش زیری سطوح اشاره کرد (برگ حداد، ۱۳۹۲؛ نظری‌ها، ۱۳۹۲). نخستین گام در طرح‌های مدیریتی سیلاب داشتن نقشه‌های پنهان‌بندی خطر سیل است. این نقشه‌ها آگاهی‌هایی درباره گستردگی و عمق منطقه سیل گیر در دوره بازگشت‌های مختلف را در اختیار مدیران قرار داده و بدین ترتیب اجرای اقدامات حفاظتی مناسب در برابر آسیب‌های مالی و جانی سیل را آسان می‌سازد (عسگری، ۱۳۹۴). از مهم‌ترین کاربردهای نقشه‌های پنهان‌بندی خطر سیل می‌توان به تعیین بستر و حریم رودخانه‌ها و تعیین حدود گذرگاه سیل و اراضی سیل گیر حاشیه رودخانه، مطالعه و توجیه

اقتصادی طرح‌های عمرانی با توجه به پنهان سیل در دوره بازگشت‌های متعدد و برآورد خسارت سیل اشاره کرد (حیدری، ۱۳۸۵). امروزه با استفاده از سیستم اطلاعات جغرافیایی (GIS) و داده‌های ماهواره‌ای سنجش از دور از جمله مدل رقومی ارتفاعی زمین (DEM) و تصاویر ماهواره‌ای رداری و اپتیکی، علاوه بر سرعت محاسبات، می‌توان محدوده پخش سیلاب را با دقت بیشتری تعیین نمود (دی بالداسور و آنبروک^۱، ۲۰۱۲). با توجه به اهمیت موضوع سیلاب، محققین زیادی به مطالعه این موضوع در داخل و خارج از کشور پرداخته‌اند از جمله، صالحی و همکاران (۱۳۹۲)، پنهانبندی خطر سیلاب شهری را با استفاده از نرم‌افزار GIS و فرآیند تحلیل سلسله مراتبی فازی AHP در منطقه تهران را با استفاده از سه منبع اصلی داده، مدل رقومی ارتفاعی DEM به منظور فراهم کردن لایه‌های تجمع جریان، شیب و ارتفاع و تصاویر سنجنده TM ماهواره لندست، به منظور استخراج اراضی نفوذپذیر و نفوذناپذیر و فایل رقومی شبکه آبراهه‌ها و زهکشی آبهای سطحی در سطح شهر را با روش فرایند سلسله مراتبی فازی (باکلی) مورد ارزیابی و تحلیل قرار داده که نتایج آن را به صورت نقشه‌های پنهانبندی خطر سیل در محیط نرم‌افزار GIS ارائه کردند. علی و همکاران (۲۰۱۹)، با استفاده از روش تصمیم‌گیری چندمعیاره AHP و مدل نرخ بازگشت نقشه‌های آسیب‌پذیری و خطر سیلاب را برای ناحیه سونداریان (هندوستان) به دست آوردند. هفت شاخص مهم شامل تراز ارتفاعی زمین، درصد شیب، شاخص رطوبت، پراکندگی بارش، کاربری زمین و پوشش گیاهی و فاصله از رودخانه را در نظر گرفتند. مطالعات آن‌ها نشان داد که فاصله از رودخانه و پراکندگی بارش و کاربری زمین و پوشش زمین از مهم‌ترین علل به وجود آورنده سیلاب در این منطقه هستند. چاکرابورتی و موخپادیای^۲ (۲۰۱۹)، نقشه‌های پنهانبندی خطر سیلاب FRI و نقشه‌های آسیب‌پذیری FVI شهر کوچبهار (هندوستان) را به کمک روش تصمیم‌گیری چندمعیاره AHP و GIS به دست آوردند. شاخص‌های استفاده شده در این تحقیق شامل تراز، شیب سطوح، تراکم زهکشی، فاصله از رودخانه، حداکثر بارش، ویژگی‌های زئومورفیکی و غیره بودند. بر اساس نتایج آن‌ها ۴/۹۱ درصد، ۱۲/۲۹ درصد و ۳۸/۶۴ درصد شهر به ترتیب در مناطق پرخطر، خطر متوسط و کم خطر قرار دارند. در دهه‌های اخیر استان گلستان شاهد سیل‌های بزرگی چون سال ۱۳۸۰ در حوضه‌آبریز بالادست رودخانه گرگانروود بوده است که با خسارت‌ها جانی و مالی سنگینی در شهرستان کلاله همراه بود. همچنین می‌توان به سیل‌های ۱۳۸۱ و ۱۳۸۴ در حوضه‌آبریز رودخانه گرگانروود اشاره کرد که باعث از بین رفتن ۱۵۰۰ هکتار از اراضی و از بین رفتن ۱۵۰ روستا شد (قلی‌نژاد، ۱۳۹۱). شهرستان آق‌قلا به دلیل عبور رودخانه گرگانروود همواره مورد تهدید سیل‌هایی چون ۱۳۸۰، ۱۳۸۱، ۱۳۸۶، ۱۳۹۱، ۱۳۹۶ و ۱۳۹۸ واقع شده است. طبق گزارش اداره آب منطقه‌ای استان گلستان ۳۵۰ میلی‌متر بارش فقط طی ۴۸ ساعت که معادل ۶۶ درصد بارش سالانه استان گلستان بود در حوضه‌آبریز گرگانروود در فرودین ۱۳۹۸ رخ داد، که باعث آبگرفتگی بیش از ۶۰ درصد شهرستان آق‌قلا شد. لذا شناسایی رفتار رودخانه گرگانروود هنگام وقوع و

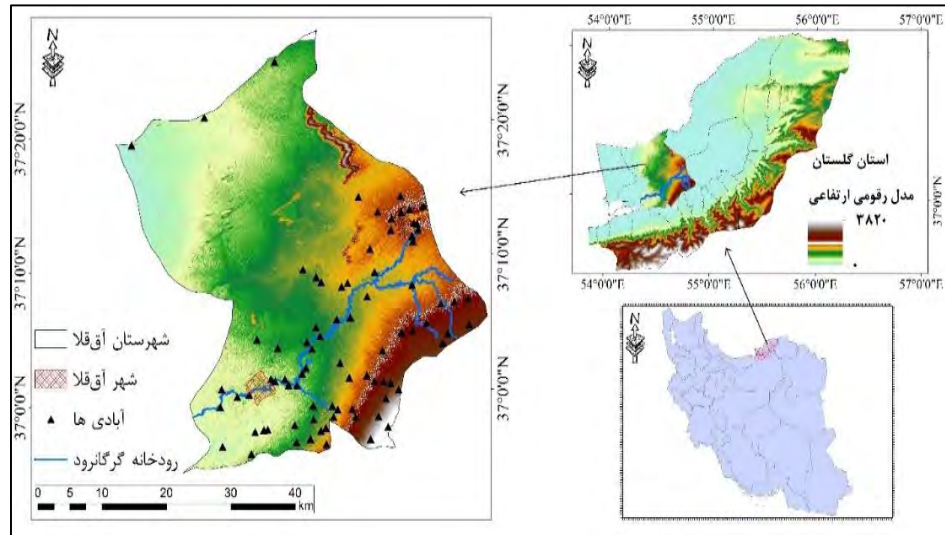
¹ Di Baldassarre & Uhlenbrook
² Chakraborty & Mukhopadhyay

پس از وقوع سیلاب می‌تواند کمک بزرگی به کنترل سیلاب این رودخانه در محدوده شهرستان آق قلا بنماید. هدف تحقیق حاضر پنهانه‌بندی خطر سیل شهرستان آق قلا با توجه به وزن‌دهی و مقایسه زوچی معیارهای مؤثر در به وجود آمدن پنهانه‌های سیلاب به کمک روش تحلیل سلسله مراتبی AHP است. همچنین نقشه نهایی خطر سیل با پنهانه‌های سیلاب بهار ۱۳۹۸ که از تصاویر ماهواره‌های سنتینل-۲ و لندست-۸ استخراج شده‌اند و تصاویر پهپاد از زمان واقعه سیلاب مقایسه شده است. سپس راهکارهای کاهش خطر سیلاب در مناطق مختلف شهرستان با توجه به وضعیت موجود ارائه خواهد شد. نقشه خطر سیلاب شهرستان آق قلا جزو مهم‌ترین اسناد هشدار و امدادرسانی در برابر حادثه سیلاب است، که می‌توان در اختیار مسئولان ذی‌ربط قرار داد تا از آن به عنوان سند چشم‌انداز توسعه شهرستان آق قلا و مدیریت بحران سیلاب استفاده نمایند.

۲- مواد و روش

۱-۱- منطقه مورد مطالعه

شهر آق قلا در استان گلستان و مرکز شهرستان آق قلا است، که در محدوده مختصات جغرافیایی ۳۷ درجه شمالی و ۵۴ درجه شرقی قرار داد. شهرستان آق قلا در طرفین رودخانه گرگانرود و در شمال شهر گرگان قرار دارد (شکل ۱). تقریباً ۵۰ درصد اراضی شهرستان آق قلا به دلیل عبور رودخانه گرگانرود دارای کاربری کشاورزی، کشت گندم و جو است. اکثر مناطق شمالی و شمال غربی شهرستان آق قلا از نوع باتلاقی و سورهزار که فاقد پوشش گیاهی و درختان مناسب است و همچنین مناطق جنوبی شهرستان آق قلا مناطق صنعتی و باغ است که به شهرستان گرگان متصل می‌شود. اقلیم شهرستان آق قلا مانند منطقه ترکمن صحرا بیابانی گرم و مرطوب است. رودخانه گرگانرود از مهم‌ترین شاخه‌های سیل خیز استان گلستان است که طول آن حدود ۲۵۱ کیلومتر است که از دامنه‌های شمالی البرز شرقی و دامنه‌های غربی ارتفاعات استان خراسان شمالی سرچشمه می‌گیرد. این رودخانه پس از عبور از شهرهای گنبدکاووس و آق قلا در غرب خواجه‌نفس با تشکیل دلتای بزرگی به دریای خزر می‌ریزد. حدود ۸۵ کیلومتر از رودخانه گرگانرود از شهرستان آق قلا و به طور خاص حدود ۱۲ کیلومتر آن از محیط شهری آق قلا عبور می‌کند (گنجی، ۱۳۹۸). متوسط آبدی سالانه آن حدود ۹۲۰ میلیون متر مکعب است (گزارش‌های شرکت آب منطقه‌ای استان گلستان، ۱۳۹۵).



شکل ۱- محدوده مورد مطالعه، شهرستان آق قلا و رودخانه گرگانرود

۲-۲- پهنه‌بندی سیلاب بهار ۱۳۹۸ شهرستان آق قلا

در تحقیق حاضر به منظور ارزیابی نقشه خطر سیلاب از تصاویر ماهواره‌ای موجود از سیلاب بهار ۱۳۹۸ استفاده گردید. ماهواره اپتیکی Sentinel-2A از سری ماهواره‌های Sentinel است که توسط سازمان فضایی اروپا در سال ۲۰۱۵ به فضا پرتاب شد، و در ۱۳ باند در محدوده طیف مرئی، فروسرخ نزدیک و موج کوتاه فروسرخ از طیف الکترومغناطیسی تصویربرداری می‌کند. قدرت تفکیک این تصاویر در سه دسته ۱۰، ۲۰، ۶۰ متر است (صادق و لی^۱). سه تصویر Sentinel-2 از زمان آبگرفتگی در تاریخ‌های ۱۶ و ۲۶ فروردین و پنجم اردیبهشت دانلود گردید. همچنین یک تصاویر از ماهواره Landsat-8 در تاریخ ۱۴ فروردین به عنوان مکمل برای استخراج پهنه‌های سری زمانی سیلاب استفاده شد. بعد از اعمال پیش‌پردازش‌های لازم، با استفاده از شاخص MNDWI^۱ پهنه‌های سری زمانی سیلاب استخراج گردیدند (ژو^۲، ۲۰۰۶). نقشه سری زمانی پهنه‌های سیلاب در (شکل ۲) و مساحت آنها در (جدول ۱) نشان داده شده است.

جدول ۱- مساحت پهنه‌های سری زمانی سیلاب با استفاده از شاخص MNDWI مربوط به شهرستان آق قلا

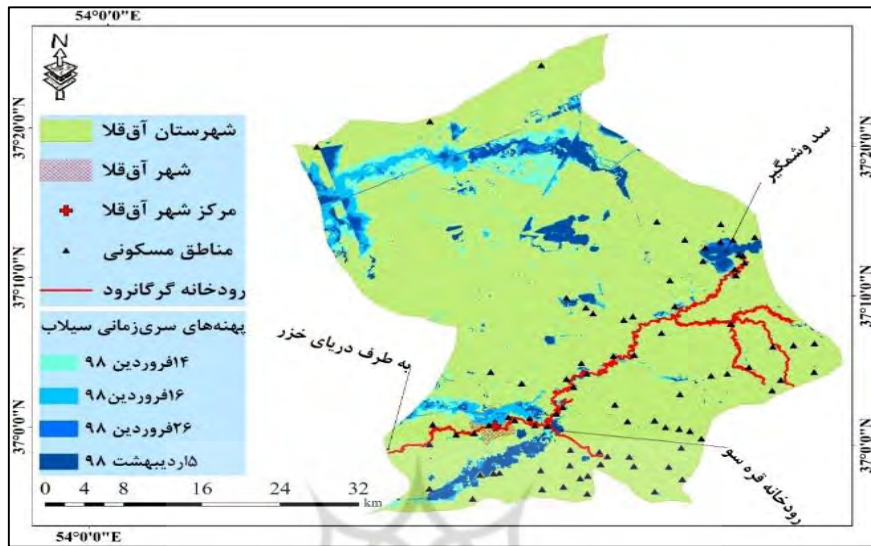
تاریخ	مساحت (کیلومترمربع)
۱۴ فروردین ۱۳۹۸	۲۶۲/۴۵۳
۱۶ فروردین ۱۳۹۸	۲۳۱/۲۳۹
۲۶ فروردین ۱۳۹۸	۱۳۳/۵۰۸

۱ Sadek and Li

۲ Modified Normalized Water Index, MNDWI: $(B3-B11)/(B3+B11)$

۳ Xu

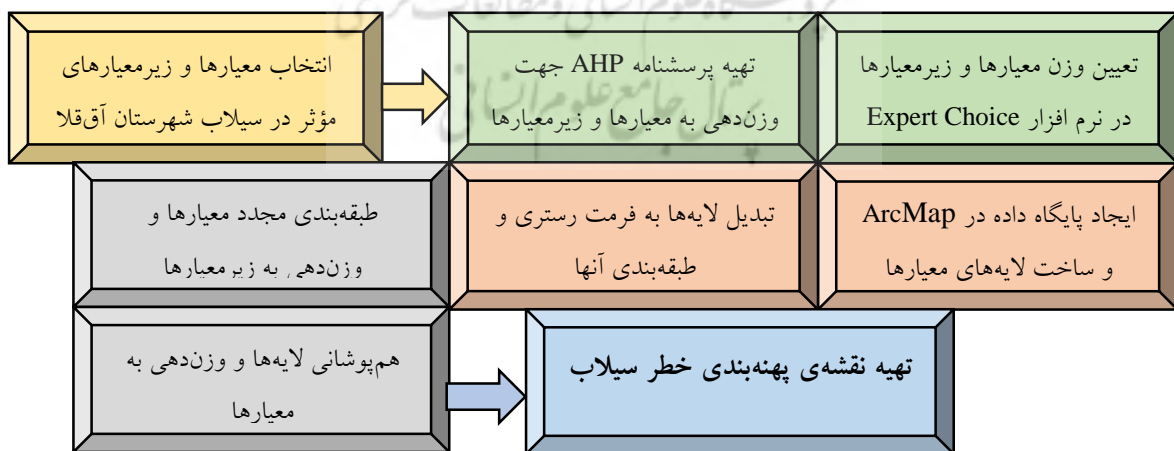
تاریخ	مساحت (کیلومترمربع)
۵ اردیبهشت ۱۳۹۸	۱۵۶/۳۳۳



شکل ۲- پهنه‌های سری زمانی سیلاب با استفاده از شاخص MNDWI شهرستان آق قلا

۳-۲- ریز پهنه‌بندی خطر سیلاب در محیط GIS

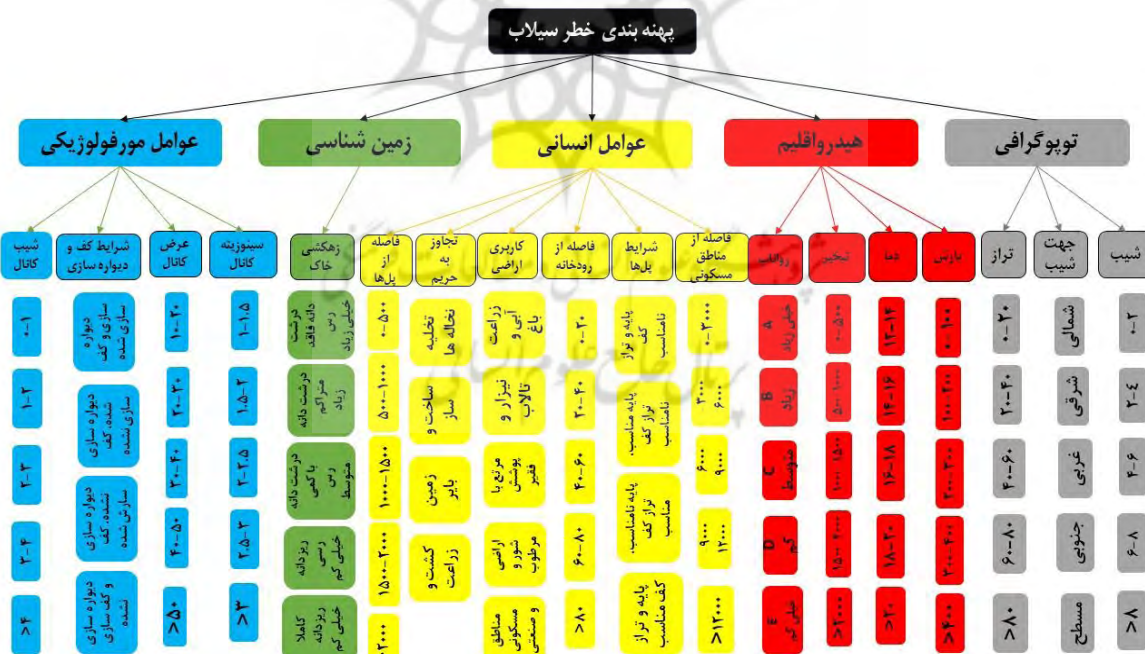
به منظور تهیه نقشه خطر سیلاب شهرستان آق قلا، ۲۵ شاخص که در به وجود آمدن سیلاب در این شهرستان نقش اساسی داشتند شناسایی گردید. سپس با مطالعات میدانی و مشورت با کارشناسان خبره سیل استان گلستان ۱۸ شاخص مؤثر برگزیده شدند. مراحل شماتیک تهیه ریز پهنه‌بندی خطر سیلاب در (شکل ۳) نشان داده شده و در ادامه به تفصیل بیان شده است.



شکل ۳- فلوچارت مراحل تهیه نقشه‌های خطر سیلاب

۱-۳-۲- شناسایی عوامل و معیارهای مؤثر در سیل خیزی رودخانه گرگانروود و شهرستان آق قلا

ابتدا شاخص‌های مؤثر در سیل خیزی تعریف و شناسایی معیارها به صورت دقیق طبقه‌بندی و سپس لایه‌های مورد نیاز در بستر نرم‌افزار آماده‌سازی شدند. به منظور ایجاد پایگاه داده در نرم‌افزار ArcMap اطلاعات دقیق در مورد شاخص‌های مورد نظر از سازمان‌های مرتبط، شرکت آب منطقه‌ای، اداره آبخیزداری، اداره هواشناسی و اداره کل منابع طبیعی استان گلستان جمع‌آوری گردید. زیرمعیارهای شبیب، جهت شبیب، تراز یا مدل ارتفاع رقومی، با استفاده از نقشه DEM، ALOS با دقت ۱۲/۵ متر استخراج گردیدند؛ زیرمعیارهای بارش، دما، تبخیر، با استفاده از داده‌های ایستگاه‌های هواشناسی شهر آق قلا و مزرعه ارتش مدل‌سازی شدند. زیرمعیارهای رواناب و زهکشی خاک بر اساس نقشه طبقه‌بندی خاک منطقه (اداره آبخیزداری استان گلستان) تعیین شد. زیرمعیارهای فاصله از مناطق مسکونی، شرایط پل‌ها، فاصله از رودخانه، کاربری اراضی، تجاوز به حریم رودخانه، فاصله از پل‌ها، سینوزیه، عرض رودخانه، شرایط کف و دیواره‌های (مورفولوژی رودخانه) و شبیب کف رودخانه با بازدیدهای میدانی و نرم‌افزار Google Earth استخراج و با استفاده از نرم‌افزار AutoCAD محاسبه شدند (گنجی، ۱۳۹۹). این اطلاعات که شامل لایه‌های وکتوری و رستری بودند در نرم‌افزار ArcMap به عنوان پایگاه داده ایجاد شد. در ادامه نیاز است تمام لایه‌های موجود تبدیل به فرمت رستری شوند تا طبقه‌بندی، وزن دهی و درنهایت همپوشانی صورت گیرد. زیرمعیارها و معیارها در درخت سلسله مراتبی (شکل ۴) نشان داده شده است.



شکل ۴- درخت سلسله مراتبی معیارها و زیرمعیارهای تحقیق

۲-۳-۲- تهیه پرسشنامه AHP و تعیین وزن معیارها و زیرمعیارها

یکی از روش‌های ارزیابی و وزن‌دهی به معیارها و زیرمعیارها، روش تحلیل سلسله مراتبی AHP است که به وسیله ساعتی در سال ۱۹۸۰ مطرح شد. نرم‌افزار ExpertChoice این امکان را فراهم می‌سازد تا تصمیمات مستدل و منطقی جهت انتخاب مطلوب برای تصمیم‌گیرندگان فراهم شود (آقایی، ۱۳۸۶). به منظور بررسی اهمیت و درجه تأثیر هر یک از معیارها و زیرمعیارها در به وجود آمدن سیالاب در شهرستان آق قلا از فرایند تحلیل سلسله مراتبی AHP استفاده گردید. بدین منظور با استفاده از طراحی پرسشنامه AHP برای فاکتورهای مورد نظر در مقیاس ۱ تا ۹ بر حسب میزان اهمیت و مقایسه دودویی و ضریب اهمیت هر یک از فاکتورهای مورد بررسی در اختیار ۱۰ متخصص و کارشناس حوضه سیالاب استان در ادارات و سازمان‌های مربوطه قرار داده شد. میانگین نظرات کارشناسان به منظور وزن‌دهی در نرم‌افزار ExpertChoice وارد گردید. وزن‌های دست آمده بر اساس مقایسه دودویی و زوجی هر یک از معیارها با یکدیگر بر اساس نظر کارشناسان است. پس از به دست آوردن وزن نهایی هر معیار، باید به محاسبه نرخ ناسازگاری (ConsistencyRatio) پرداخت، نرخ ناسازگاری به معنی میزان ارتباط منطقی بین ایده‌های مختلف با یکدیگر با توجه به یک ملاک معین است. در صورتی که نرخ ناسازگاری کوچک‌تر از ۰/۱ باشد ($CR < 0.1$) سازگاری وجود دارد، و در غیر این صورت باید در مقدار ارجحیت‌ها تجدید نظر شود (اصغرپور، ۱۳۹۷). مقدار نرخ ناسازگاری از (رابطه ۱) و (رابطه ۲) به دست می‌آید.

$$CR = \frac{CI}{IRI} \quad (رابطه ۱)$$

$$CI = \frac{\lambda_{Max}-n}{n-1} \quad (رابطه ۲)$$

CR (نرخ ناسازگاری) - CI (شاخص ناسازگاری) - n (بردار نرمال‌سازی) - λ_{Max} (میانگین عناصر بردار سازگاری) - IRI (شاخص ناسازگاری تصادفی (جدول ۲)).

جدول ۲- جدول شاخص ناسازگاری تصادفی

n	۱	۲	۳	۴	۵	۶	۷	۸	۹	۱۰
IRI	۰	۰	۰/۵۸	۰/۹۰	۱/۱۲	۱/۲۴	۱/۳۲	۱/۴۱	۱/۴۵	۱/۵۱

در صوری که بعد از محاسبات فوق مقدار نرخ ناسازگاری $0/1 < CR$ به دست آمد، نشان دهنده این است که ارجحیت‌های وارد شده صحیح است (عطایی، ۱۳۸۸). بعد از اینکه مقایسات زوجی توسط کارشناسان صورت گرفت، با جمع‌بندی و میانگین‌گیری از ارجحیت‌های انجام شده، پرسشنامه نهایی براساس مقایسات نهایی وارد نرم‌افزار ExpertChoice گردید. اوزان نهایی به دست آمده معیارها و زیرمعیارها و گزینه‌ها نسبت به همدیگر و نسبت به سطح بالاتر خود و درنهایت نسبت به هدف نهایی به دست آمد. اوزان به دست آمده و همچنین نرخ ناسازگاری هر کدام در (جدول ۳) نشان داده شده است.

جدول ۳- اوزان نهایی به دست آمده با استفاده از نرم افزار ExpertChoice

نرخ ناسازگاری	وزن نهایی عیار*زیرعیار	وزن عیار و زیرعیار	معیارها و زیرمعیارها
۰/۰۴<۰/۱	-	۰/۳۵۳	توبوگرافی
۰/۰۵<۰/۱	۰/۰۷۳	۰/۱۹۶	شیب
	۰/۱۰۹	۰/۳۱۱	جهت شیب
	۰/۱۷۴	۰/۴۹۳	تراز-ارتفاع
	-	۰/۱۰۲	هیدرولوژیم
۰/۰۲<۰/۱	۰/۰۴۱	۰/۴۱۰	بارش
	۰/۰۰۶	۰/۰۶۶	دما
	۰/۰۰۹	۰/۰۹۸	تبخیر
	۰/۰۴۵	۰/۴۲۶	رواناب
۰/۰۳<۰/۱	-	۰/۱۶۲	عوامل انسانی
	۰/۰۱	۰/۰۵۹	فاصله از مناطق مسکونی
	۰/۰۴۵	۰/۲۸۰	شرایط پل‌ها
	۰/۰۰۵	۰/۲۹۰	فاصله از رودخانه
۰/۰۴<۰/۱	۰/۰۱۶	۰/۰۹۹	کاربری اراضی
	۰/۰۲۱	۰/۱۳۵	تجاوز به حریم رودخانه
	۰/۰۲۲	۰/۱۳۶	فاصله از پل‌ها
	-	۰/۰۴۹	زمین‌شناسی
۰/۰۳<۰/۱	۰/۰۴۹	۱	زهکشی خاک
	-	۰/۳۳۳	مورفولوژی
	۰/۱۱۶	۰/۳۵۱	سینوزیته رودخانه
	۰/۱۰۳	۰/۳۱۲	عرض رودخانه
۰/۰۴<۰/۱	۰/۰۲۹	۰/۰۹۰	شرایط کف و دیواره رودخانه
	۰/۰۸۲	۰/۲۴۷	شیب بستر رودخانه

۳-۳-۲- ایجاد پایگاه داده در ArcMap و تبدیل داده‌ها به فرمت رستری

داده‌های وارد شده به نرم افزار ArcMap از نوع وکتوری و رستری بوده که برای طبقه‌بندی تصاویر نیاز است تمام داده‌ها به فرمت رستری تبدیل شوند. در فرمت رستری هر کدام از گزینه‌های موجود در لایه‌ها به پیکسل تبدیل شده که هر کدام از پیکسل‌ها دارای ارزش است. برای طبقه‌بندی نیاز است تا بر اساس ارزش هر کدام از گزینه‌ها یک ارزش به آن‌ها داده شود تا درنهایت تصاویر خروجی، بر اساس ارزش پیکسل سیمبولوژی شوند که نشان دهنده اهمیت گزینه مورد نظر است. از میان لایه‌های استفاده شده در پژوهش، لایه‌های شیب، جهت شیب و تراز چون مستقیم از فایل DEM استخراج می‌گردند دارای فرمت رستری می‌باشند؛ اما داده‌های بارش، دما، تبخیر، فاصله از

مناطق مسکونی، فاصله از پل‌ها، تجاوز به حریم رودخانه، سینوزیته، عرض کanal، شرایط کف و دیواره و شبکه کف رودخانه به دلیل اینکه از نوع نقطه‌ای هستند و تمام اطلاعات آن‌ها در Attribute Table ذخیره شده‌اند با استفاده از دستور IDW¹ برای تبدیل آن‌ها به فرمت رستری استفاده گردید (پرادهان², 2009). برای تبدیل لایه خطی فاصله از رودخانه، از دستور فاصله اقلیدسی³ و لایه‌های پلی‌گون رواناب، کاربری اراضی و زهکشی خاک به فرمت رستری از دستور طبقه‌بندی مجدد⁴ استفاده گردید.

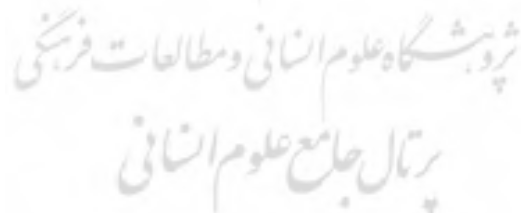
۴-۳-۲- همپوشانی لایه‌ها و وزن‌دهی به معیارها

بعد از اینکه تمام لایه‌ها به ده کلاس تقسیم‌بندی گردید، طبقه‌بندی مجدد لایه‌ها به پایان می‌رسد. در طبقه‌بندی، کلاس‌یک کمترین ارزش در خطر سیلاب و کلاس‌ده بیشترین ارزش در خطر سیلاب در شهرستان آق‌قلا را دارد. سپس با استفاده از دستور Weighted Sum لایه‌ها همپوشانی شده و وزن‌های نهایی (جدول ۳) به دست آمده مربوط به هر معیار و زیرمعیار به لایه مربوطه داده می‌شود.

۳- نتایج و بحث

۱- نقشه نهایی زیرمعیارهای طبقه‌بندی شده در محیط GIS

بعد از تبدیل همه لایه‌ها به فرمت رستری نیاز است تا متغیرهای همه لایه‌ها یکسان‌سازی و دارای ارزش شوند. بدین منظور تمام لایه‌ها، پس از وزن‌دهی و ارزش‌دهی به زیرلایه‌ها، به ده کلاس تقسیم‌بندی گردیدند. کلاس‌یک کمترین ارزش در به وجود آمدن سیلاب و کلاس‌ده بیشترین ارزش در به وجود آمدن سیلاب در شهرستان آق‌قلا را دارد. نقشه طبقه‌بندی شده زیرمعیارها به تفکیک در (شکل ۵) آورده شده است.

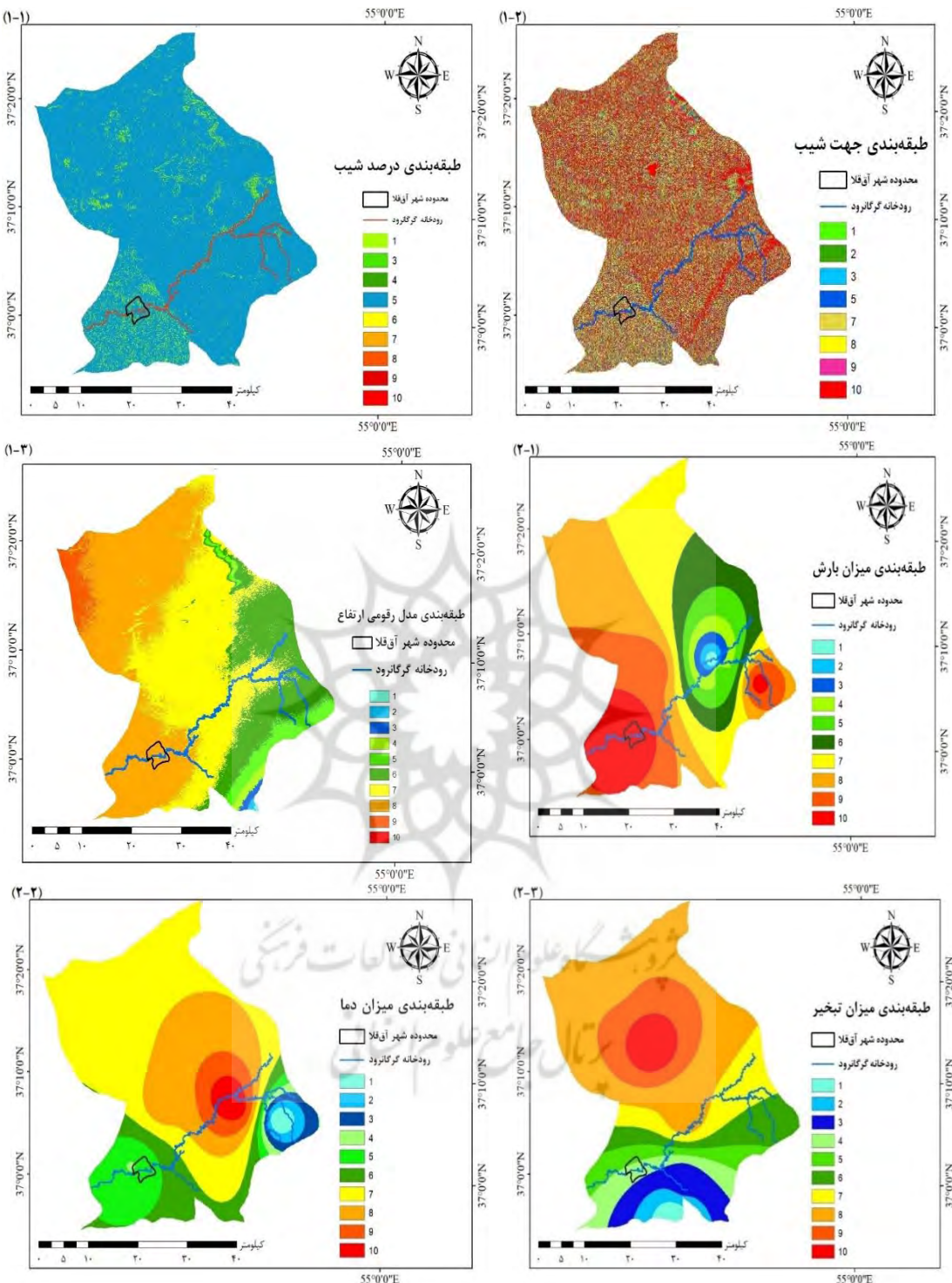


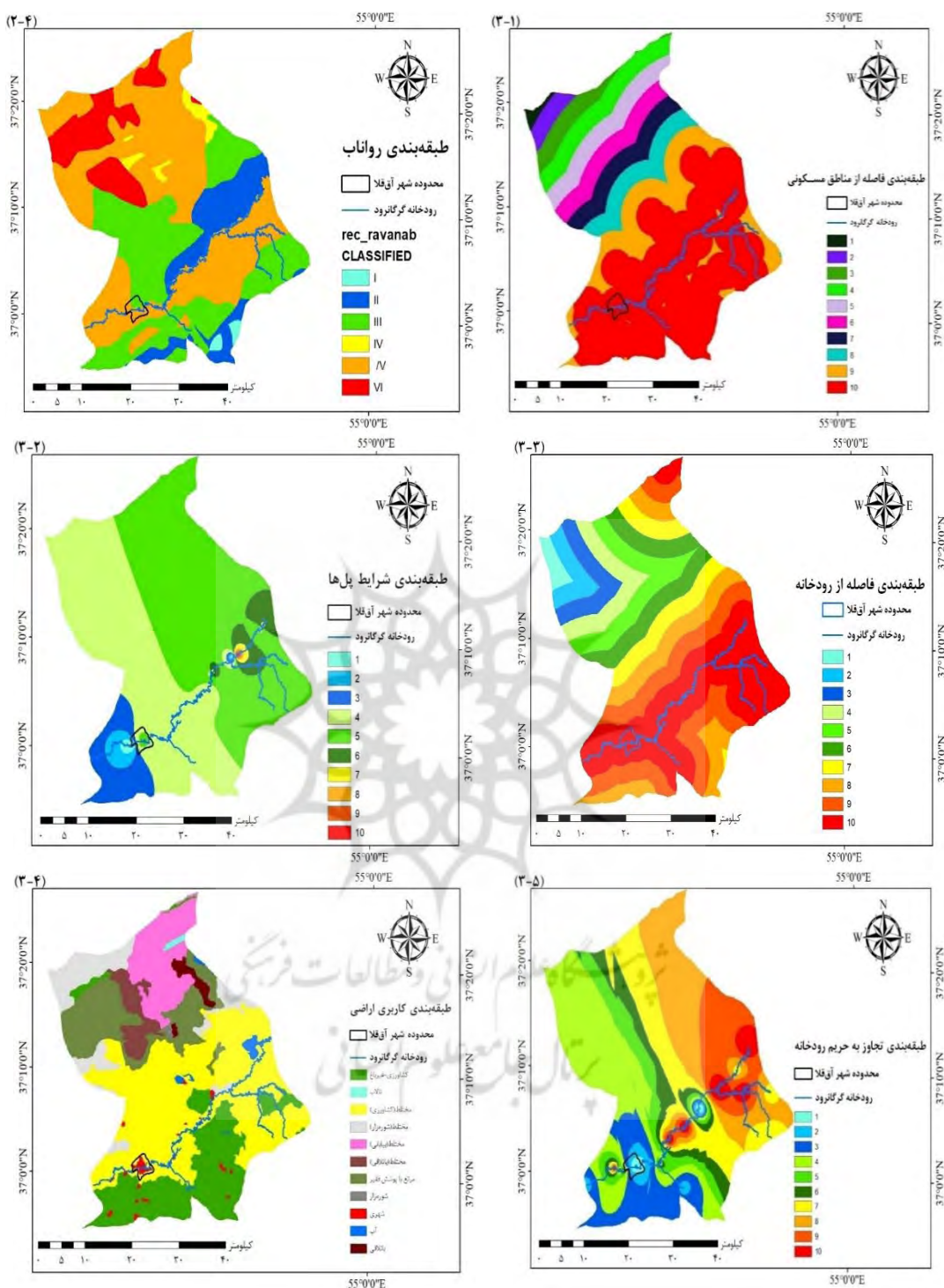
1 Inverse Distance Weighted

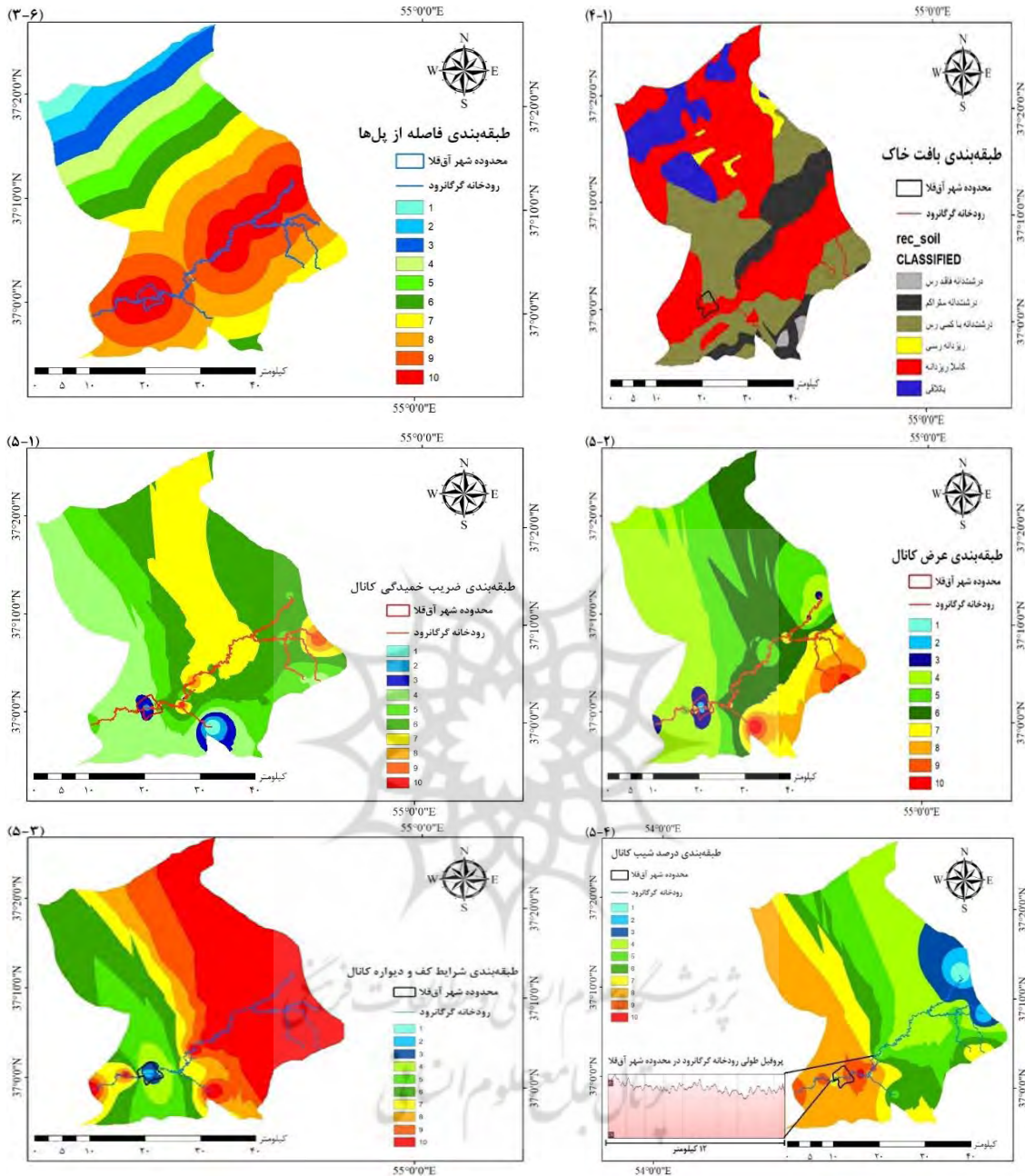
2 Pradhan

3 Euclidean Distance

4 Reclassify



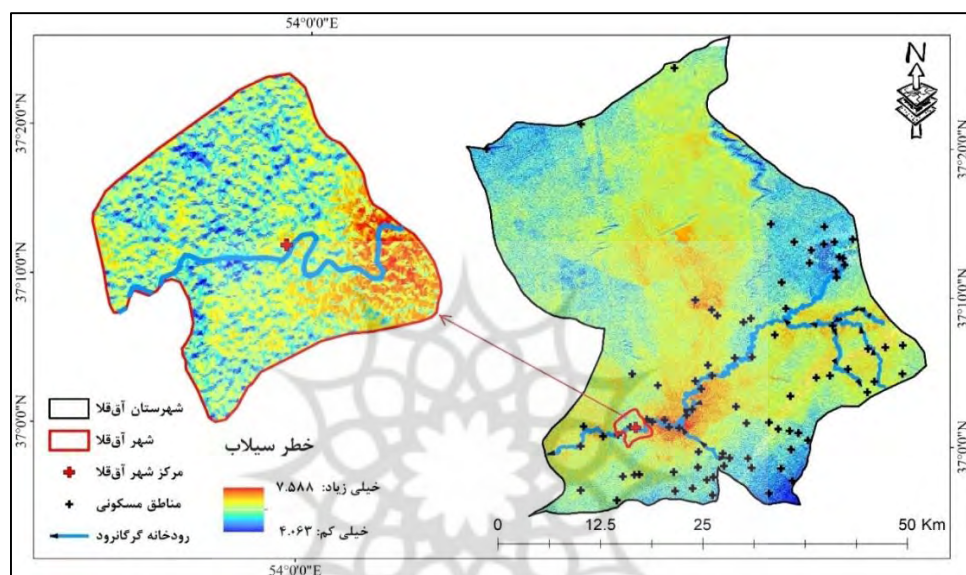




شكل ۵- (۱-۱) لایه درصد شیب، (۲-۱) لایه جهت شیب، (۳-۱) لایه مدل رقومی ارتفاع؛ (۱-۲) لایه بارش، (۲-۲) لایه دما، (۳-۲) لایه تبخیر، (۴-۲) لایه رواناب؛ (۱-۳) لایه فاصله از مناطق مسکونی، (۲-۳) لایه شرایط پل‌ها، (۳-۳) لایه فاصله از رودخانه، (۴-۳) لایه کاربری اراضی، (۵-۳) لایه فاصله از پل‌ها؛ (۱-۴) لایه بافت خاک؛ (۱-۵) لایه ضرب خمیدگی (سینوزیته)، (۲-۵) لایه عرض کانال، (۳-۵) لایه شرایط کف و دیواره، (۵-۴) لایه درصد شیب بستر رودخانه

۲-۳- نقشهٔ نهایی پهنه‌بندی خطر سیلاب در محیط GIS

در گام آخر بعد از وزن دهی معیارها و زیرمعیارها، لایه‌های تهیه شده به ده کلاس طبقه‌بندی شدند که ارزش ده بیشترین خطر سیلاب و ارزش یک کمترین خطر سیلاب را داشت. لایه‌ها با استفاده از ابزار مجموع وزنی (Weighted Sum) همپوشانی شدند و وزن هر زیرمعیار به لایه آن اعمال گردید. (شکل ۶) نقشهٔ نهایی خطر سیلاب شهرستان و شهر آق‌قلا را نشان می‌دهد.



شکل ۶- نقشهٔ نهایی خطر سیلاب شهرستان و شهر آق‌قلا

با توجه به (شکل ۶) مناطق قرمزگ و آبی رنگ به ترتیب مناطق پر خطر و کم خطر در برابر سیلاب می‌باشند. اکثر مناطق اطراف رودخانه گرگانرود با توجه به معیارهای مورفولوژی و عوامل انسانی در پهنهٔ پر خطر قرار گرفتند. به دلیل اینکه الگوی رودخانه گرگانرود در محدوده روستای سلاق یاقی تا روستای قانقرمه از نوع پیچانروزی شدید است، در سیلاب بهار ۹۸ با توجه به عدم لایروبی رودخانه و فرسایش کناره‌های رودخانه بستر و عرض مفید رودخانه کاهش یافته، و سیلاب جاری در رودخانه در این ناحیه از مدخل رودخانه خارج شده و با توجه به شبیه شرقی- غربی منطقه از دشت‌های شمالی شهر آق‌قلا به محیط شهری شهر آق‌قلا وارد گردیده است، لذا این منطقه از شهرستان در محدوده خطر خیلی زیاد قرار می‌گیرد. همچنین دشت‌های میانی شهرستان با توجه به معیار توپوگرافی و کاربری اراضی در محدوده پر خطر قرار گرفت، این منطقه از شهرستان در سیلاب بهار ۱۳۹۸ به دلیل شکسته شدن آب بندان یلمه‌خندان آب موجود در آن به دشت‌های مرکزی شهرستان جریان یافته و با توجه به شبیه بسیار پایین منطقه (دو در دههزار) سیلاب به صورت راکد مانده و منطقه‌ای پر خطر در برابر سیلاب به وجود می‌آید. مناطق شمالی

و شمالی شرقی شهرستان با توجه به زیرمعیارهای شیب و جهت شیب، باعث عدم حرکت سیلاب و وجود مناطق باتلاقی باعث به دام افتادن سیلاب خارج شده از رودخانه اترک در این ناحیه می‌شود، لذا با وجود اینکه این منطقه از شهرستان فاقد مناطق مسکونی و زمین‌های زراعی است، در پهنه با خطر متوسط قرار گرفت. مناطق غربی و شمال‌غربی شهرستان با توجه به وجود دشت‌های سوره‌زار و باتلاقی و دور بودن از رودخانه گرگانرود و نبود منازل مسکونی در محدوده خطر کم قرار گرفت. این ناحیه در سیلاب بهار ۱۳۹۸ به دلیل طغیان رودخانه اترک دچار پهنه‌های سیلابی شده است. مناطق غربی و جنوبی شهرستان به دلیل دور بودن از رودخانه گرگانرود و شیب نسبتاً مناسب در محدوده خطر خیلی کم قرار گرفتند.

۳-۳- ارزیابی صحت نقشه خطر سیلاب

یکی از گام‌های اساسی در ارزیابی صحت نقشه‌های تولید شده توسط سیستم اطلاعات جغرافیایی، مقایسه آن‌ها با تصاویر ماهواره‌ای در دسترس و تصاویر پهپادی موجود از زمان واقعه سیلاب است، که جزو دقیق‌ترین مراجع جهت صحت نتایج می‌باشند. بدین منظور نقشه خطر سیلاب (شکل ۶) با پهنه‌های سری زمانی سیلاب استخراج شده از تصاویر موجود ماهواره سنتینل-۲ و لندست-۸ (شکل ۸) و تصاویر پهپاد زمان سیلاب (شکل ۹) به صورت کیفی مقایسه گردید.

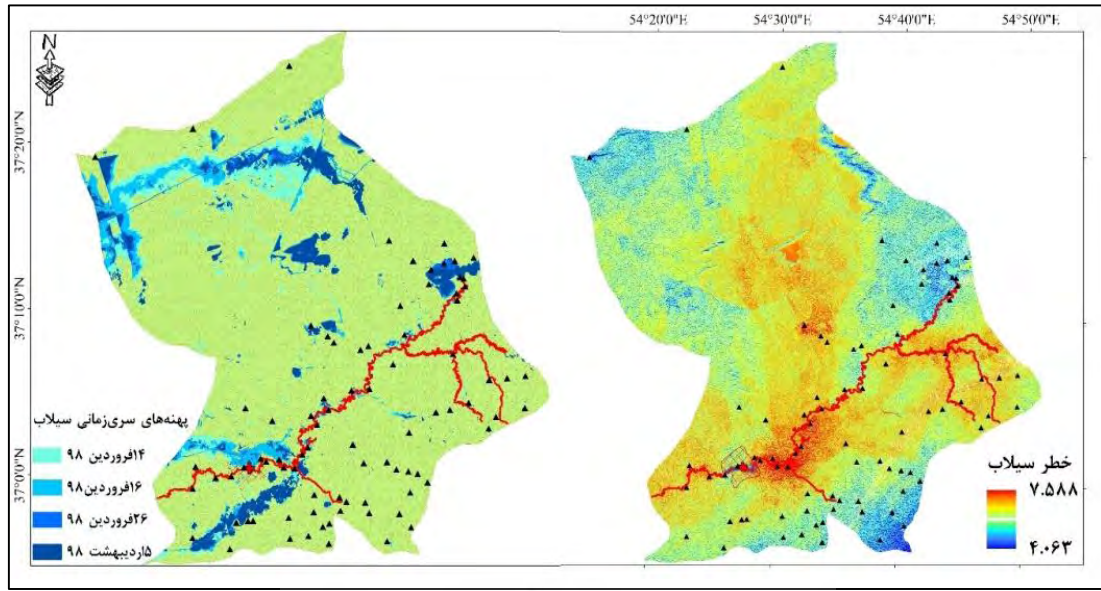
بعد از استخراج پهنه‌های سیلاب به کمک تصاویر ماهواره‌ای و همچنین تعیین وزن معیارهای تحقیق، بیشترین اوزان مربوط به معیارهای توپوگرافی و مورفو‌لوزی به ترتیب $۰/۳۵۳$ و $۰/۳۳۳$ بودند. با بررسی‌های انجام شده بر روی نقشه پهنه‌بندی خطر سیلاب (شکل ۶) و پهنه‌های سیلاب استخراج شده از تصاویر ماهواره‌ای (شکل ۲)، مشخص شد در مناطقی که معیارهای توپوگرافی و مورفو‌لوزی رودخانه در وضعیت حساسی قرار دارند، باعث ایجاد پهنه‌های سیلاب شده است. این مناطق به‌طور خاص در شعاع پنج کیلومتری شهر آق‌قلاء در محدوده روستای سلاق‌یلقی تا روستای دوگونچی قرار دارند، که باعث شده است این محدوده در خطر خیلی زیاد سیلاب قرار گیرد، در ادامه به چند عامل مهم در ایجاد پهنه‌های سیلاب در این محدوده اشاره شده است.

ضریب سینوزیته رودخانه در محدوده روستای سلاق‌یلقی (بازه اول، شکل ۷) برابر $۳/۸۸$ است که رودخانه از نوع پیچانزدی شدید است. اولین پیچانزد در بازه اول با شعاع حدوداً ۸۰ متر باعث خروج سیلاب از مدخل رودخانه شده که با توجه به شیب و توپوگرافی و نبود پوشش گیاهی جاذب آب، سیلاب به دشت‌های واقع در شمال شهر آق‌قلاء جریان پیدا کرده و از مناطق شمالی شهر وارد محیط مرکزی شهر شده است. ضریب سینوزیته رودخانه در محدوده روستای قانقرمه (بازه دوم-شکل ۷) برابر $۲/۰۳۹$ است که رودخانه از نوع پیچانزدی شدید است؛ اما با توجه به اینکه حجم عمدۀ سیلاب در بازه اول از مدخل رودخانه خارج شده، حجم سیلاب کمتری به بازه دوم جریان پیدا کرده است. در روستای محمدآلق، تصرف به حریم کمی رودخانه باعث تخریب دیواره‌های رودخانه در

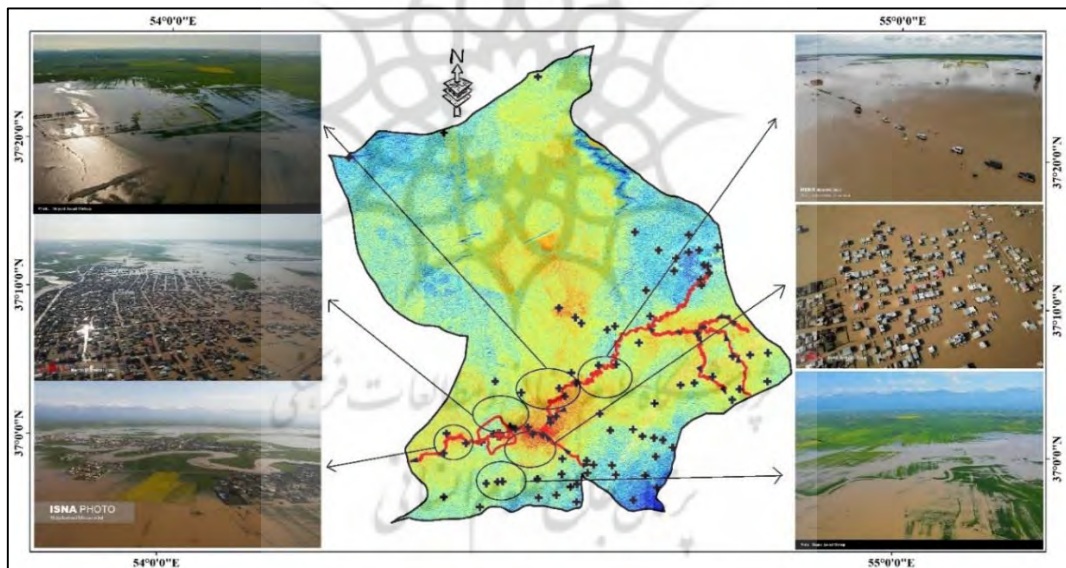
بعضی از مناطق شده، وجود پل عبور و مرور با تراز سطح عرضه پایین و عدم وجود پایه‌های مناسب مانند مانعی بر سر راه جریان باعث بالا آمدن سطح جریان و خروج سیالاب از مدخل شده است. ضریب سینوزیته رودخانه در محدوده شهری آق قلا (باže سوم، شکل ۷) برابر $1/414$ می‌باشد که رودخانه از نوع پیچانزودی است. اکثر مسیر رودخانه در این باže مستقیم بوده و میانگین شعاع پیچانزودها هشت درصد از میانگین شعاع پیچانزودهای باže اول بیشتر است. میانگین عرض بستر کanal رودخانه در باže سوم 26 m بیشتر از میانگین عرض بستر کanal رودخانه در باže‌های اول و دوم است. ضریب سینوزیته رودخانه در محدوده روستای دوگونچی (باže چهارم، شکل ۷) برابر $1/64$ که رودخانه از نوع پیچانزودی است. میانگین عرض پیچانزودها در این باže 30 m نسبت به باže سوم کمتر است، که نشان می‌دهد عرض رودخانه در پیچانزودها کمتر از سایر باže‌ها است. در این باže پهنه‌های سیالاب فقط در نزدیکی پیچانزودها از مدخل رودخانه خارج شده است. تغییرات ناگهانی مقطع رودخانه و تغییر شیب از (سه در ده هزار به دو در ده هزار) باعث جدا شدن خطوط جریان شده و تخریب مخصوصاً در کناره‌های پل حوالی روستای آق‌تکه‌خان به طرف پایین دست رودخانه گرگانزود می‌شود.



شکل ۷- در حدفاصل روستای سلاق یلقی تا روستای دوگونچی، محدوده خطر خیلی زیاد



شکل ۸- مقایسه نقشه خطر سیلاب با پهنه های سیلاب استخراج شده به کمک تصاویر ماهواره ستینل-۲ و لندست-۸



شکل ۹- مقایسه پهنه های پر خطر، با تصاویر پهپاد، سیلاب بهار ۱۳۹۸ شهرستان آق قلا

۴- نتیجه گیری و پیشنهادها

۴-۱- پیشنهادهای کاهش آسیب پذیری خطر سیلاب

به منظور تفکیک شهرستان آق قلا با توجه به خطر سیلاب نقشه (شکل ۱۰)، به پنج بازه، خطر خیلی کم، خطر کم، خطر متوسط، خطر زیاد و خطر خیلی زیاد تقسیم بندی گردید. با توجه به (شکل ۱۰)، مناطق اطراف رودخانه

گرگانورود در محدوده سد وشمگیر تا شهر آق قلا تا شعاع ده کیلومتر در پهنه خطر خیلی زیاد و مناطق شمالی و جنوبی شهرستان در پهنه خطر زیاد قرار دارند، که جزو مناطق حساس در برابر سیلاب محسوب می‌شوند. در ادامه با توجه به حساسیت مناطق نسبت به خطر سیلاب، راهکارهای کترل سیلاب پیشنهاد شده است. مساحت و درصد تفکیک پهنه‌های خطر در (جدول ۴) نشان داده شده است.

پهنه با خطر خیلی زیاد (رنگ قرمز): حدود ۲۶ درصد شهرستان آق قلا در محدوده خطر سیلاب قرار گرفت. با توجه به شبی نسبتاً مناسب مناطق شمالی سد وشمگیر، ایجاد کanal انحرافی در پایین دست سریز غربی سد وشمگیر به سمت دشت‌های شمالی که سوره‌زار و باتلاقی است، می‌تواند هنگام سیل تا حد زیادی دبی پیک خروجی از سد وشمگیر را به آن مناطق منحرف کند تا حجم سیلاب کمتری وارد رودخانه گرگانورود شود با توجه به ماهیت توپوگرافی منطقه راهکار سازه‌ای خاصی را نمی‌توان پیشنهاد کرد و می‌توان از راهکارهای غیرسازه‌ای مانند آگاه‌سازی و هشدار به موقع، هنگام سیل با آن به تعامل پرداخت. مناطق مرکزی شهرستان به دلیل وجود آب‌بندان‌های زیاد از جمله آب‌بندان یلمه‌خندان، هنگام واقعه سیلاب دبی زیادی از سریز غربی سد وشمگیر وارد این آب‌بندان‌ها می‌شود، کترل حجم دبی ورودی به این آب‌بندان‌ها، تثیت بدنه آن‌ها و زهکشی و حفر کanal‌های جمع‌آوری رواناب با توجه به شرایط توپوگرافی موجود راه حل مناسبی است. همچنین جابه‌جایی مسیر ریل راه‌آهن یا ایجاد کالورت‌های عبور سیلاب در زیر خطوط ریل راه‌آهن باعث جریان سیلاب به دشت‌های شمالی شده که فاقد مناطق مسکونی و زمین‌های زراعی است.

پهنه با خطر زیاد (رنگ زرد): حدود ۳۰ درصد شهرستان آق قلا در محدوده خطر سیلاب قرار گرفت. این پهنه‌ها در مناطق شمال-شرقی، جنوب-شرقی و مناطق غربی شهرستان آق قلا قرار دارند. در مناطق جنوبی سد وشمگیر به علت تجاوز شهرها و روستاهای به حریم رودخانه، وجود منازل مسکونی موجود در حریم کمی (۲۰ متر) رودخانه گرگانورود هنگام سیل با دوره بازگشت ۵۰ سال به بالا دچار تخریب می‌شوند، جابه‌جایی این منازل و تغییر کاربری آن‌ها به زمین کشاورزی و باغ می‌تواند باعث افزایش نفوذپذیری و افزایش ضریب زبری شود، همچنین اطلاع‌رسانی به موقع، سیستم هشدار سیل سد وشمگیر می‌تواند کمک بزرگی به کاهش خطر جانی و مالی کند. مناطق شمال-شرقی شهرستان اکثر مناطق سوره‌زار و باتلاقی است که هنگام طغیان رودخانه اترک دچار آبگرفتگی می‌شوند، و با توجه وجود تپه‌ماهوری منطقه و عدم زهکشی منطقه جریان سیلاب به سمت مناطق غربی و دریای خزر وجود ندارد لذا با توجه به اهمیت کمتر این منطقه با توجه به سایر مناطق شهرستان راهکارهای کاهش خطر سیلاب در منطقه صرفه اقتصادی نخواهد داشت.

پهنه با خطر متوسط (رنگ سبز): حدود ۱۲ درصد شهرستان آق قلا در محدوده خطر سیلاب قرار گرفت. مناطق جنوبی شهر آق قلا به دلیل عبور زیرساخه‌های رودخانه قره‌سو، لاپوی این رودخانه و بهسازی پل‌های بتی می‌تواند کمک بزرگی به کترل سیل در این نواحی کند. نواحی غربی سد وشمگیر به دلیل کانالیزه کردن رودخانه و شبی

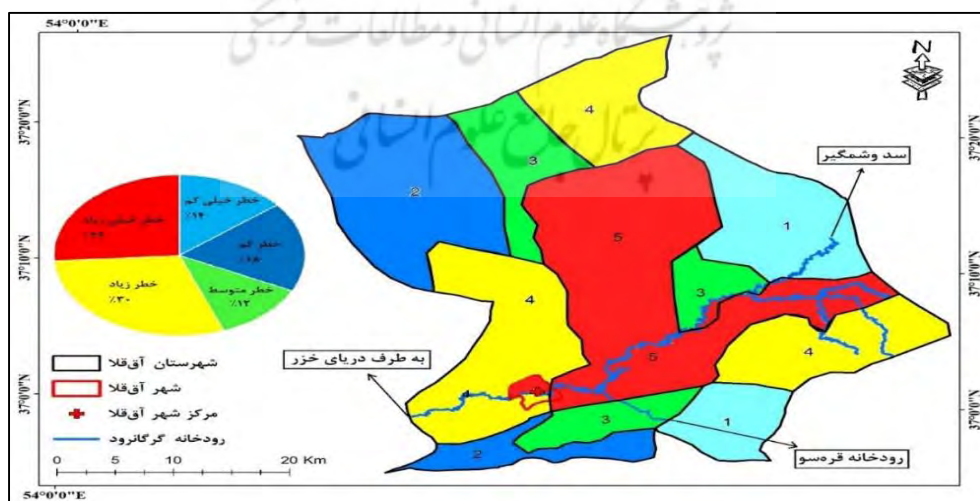
مناسب در سیلاب با دوره بازگشت ۵۰ ساله دچار آبگرفتگی نشدند. دشت‌های شمالی شهرستان با توجه به اینکه در حریم رودخانه اترک قرار دارد، در سیلاب بهار ۹۸ با بیرون‌زدگی سیلاب از کanal رودخانه اترک، رواناب آن با توجه به ماهیت توپوگرافی منطقه وارد مناطق شمالی شهرستان می‌شود، این مناطق به دلیل وجود دشت‌های باتلاقی و شورهزار مکان مناسبی برای هدایت سیلاب می‌باشند.

پهنه با خطر کم (رنک آبی): حدود ۱۸ درصد شهرستان آق‌قلا در محدوده خطر سیلاب قرار گرفت. مناطق شمال-غربی شهرستان اغلب شامل شورهزار و مناطق باتلاقی می‌باشند که کاربری خاصی ندارند و با ایجاد کanal انحرافی و زهکشی مناسب حوضه آبریز حجم عمداتی از رواناب‌های جاری را به سمت دریای خزر هدایت کرد.

پهنه با خطر خیلی کم (رنگ فیروزه‌ای): حدود ۱۴ درصد شهرستان آق‌قلا در محدوده خطر سیلاب قرار گرفت. این مناطق به دلیل اینکه در فاصله دورتری از رودخانه گرگانرود قرار دارند و اغلب کاربری اراضی آن باغ و زمین‌های زراعی است و ممکن است در سیل‌های بازگشت ۵۰ ساله به بالا دچار آبگرفتی خفیف شوند. لذا با انجام راهکارهای ارائه شده این مناطق جزو مناطق ایمن در برابر سیلاب می‌باشند.

جدول ۴- مساحت و درصد پهنه‌های خطر سیلاب، شهرستان آق‌قلا

درصد	مساحت (کیلومترمربع)	پهنه‌های خطر
۲۶/۱	۴۸۶/۱۸۵	پهنه با خطر خیلی زیاد
۲۹/۶۶	۵۵۳/۱۴۸	پهنه با خطر زیاد
۱۱/۹۵	۲۲۲/۷۷۸	پهنه با خطر متوسط
۱۸/۱	۳۳۷/۰۹۴	پهنه با خطر کم
۱۴/۱۹	۲۶۴/۵۱۴	پهنه با خطر خیلی کم
۱۰۰	۱۸۶۳/۷۱۹	مجموع



شکل ۱۰- نقشه تفکیک شده خطر سیلاب شهرستان آق‌قلا

۵- جمع‌بندی

بر اساس نتایج، رودخانه گرگانروود در حدفاصل روستای سلاقلقی تا روستای قانقرمه جزو مناطق حساس از نظر مورفولوژی است. در این بازه شاخص سینوزیته برابر $3/88$ ، تعداد پیچانروود و میانگین شعاع پیچانرودها به ترتیب برابر 18 و 89 متر است (گنجی، ۱۳۹۹) که نسبت به سایر بازه‌ها تعداد پیچانرودها و میانگین شعاع پیچانرودها به ترتیب 30 درصد بیشتر و پنج درصد کمتر است. با بازدیدهای میدانی و مشورت با کارشناسان خبره سیلاب، پنج معیار کلی و 18 زیرمعیار مؤثر در ایجاد سیلاب شهرستان آق‌قلا و رودخانه گرگانروود شناسایی گردید. بعد از وزن‌دهی آن‌ها با روش سلسله مراتبی AHP معیارهای توپوگرافی و عوامل مورفولوژی به ترتیب 0.353 و 0.333 بیشترین اوزان را به خود اختصاص دادند. براساس نقشه آسیب‌پذیری خطر سیلاب، مشخص شده حدفاصل سد وشمگیر تا ابتدای شهر آق‌قلا و دشت‌های مرکزی شهرستان به علت شرایط نامناسب توپوگرافی و مورفولوژی رودخانه گرگانروود جزو پهنه‌های پر خطر در برابر سیل می‌باشد. با توجه به نقشه تفکیک شده آسیب‌پذیری خطر سیلاب مشخص شده $14/19$ درصد از مساحت شهرستان آق‌قلا در پهنه با خطر خیلی کم و $18/1$ درصد در پهنه با خطر کم و $11/95$ درصد در پهنه با خطر متوسط و $29/66$ درصد در پهنه با خطر زیاد و درنهایت $26/1$ درصد شهرستان در پهنه با خطر خیلی زیاد قرار دارد.

۶- تشکر و قدردانی

نویسنده‌گان مقاله از اداره منابع طبیعی و آبخیزداری و شرکت آب منطقه‌ای استان گلستان بابت همکاری در تکمیل پرسشنامه‌ها تشکر می‌نمایند.

کتابنامه

- اصغرپور، محمدجواد؛ ۱۳۹۷. تصمیم‌گیری‌های چندمعیاره. انتشارات دانشگاه تهران. فصل دوم. صص $۹۵-۱۰۱$.
- آذرنگ، فرنگ؛ تلوی، عبدالرسول؛ صدقی، حسین؛ شفاعی بجستان، محمود؛ ۱۳۹۵. اثرات احداث سدهای بزرگ بر شرایط جریان و پارامترهای هیدرولیکی رودخانه (مطالعه موردی: رودخانه کرخه پایین‌دست سد مخزنی). مجله علمی پژوهشی آب و خاک. صص $۱۱-۲۷$.
- آقایی، شیما؛ مازیار، محمدرضا؛ ۱۳۸۶. تصمیم‌گیری منطقی با بهره‌گیری از نرم‌افزار Expert Choice 2000. انتشارات اردکان دانش. اصفهان. ص ۶.
- بدیعی‌زاده، سامان؛ بهره‌مند، عبدالرضا؛ آرامی، عبدالحسن؛ سبحانی، آمنه؛ ۱۳۹۱. بررسی تحلیلی معیارهای هیدرولیکی و آسیب‌پذیری در پهنه‌بندی خطر سیلاب شهری با استفاده از تکنیک‌های تصمیم‌گیری چندمعیاره. سومین همایش ملی مقابله با بیابان‌زایی و توسعه پایدار تالاب‌های کویری ایران. اراک: دانشگاه آزاد اسلامی واحد اراک. صص $۳-۵$.

- بزرگ حداد، امید؛ خسروشاهی اصل، سارا؛ زارعزاده، محبوبه؛ جوان، پوریا؛ ۱۳۹۲. توسعه مدل شبیه‌سازی-بهینه‌سازی در حفاظت مناطق سیل‌گیر. نشریه آب و خاک (علوم و صنایع کشاورزی). جلد ۲۷. شماره ۳. صص ۴۶۲-۴۷۱.
- حسین‌زاده، محمد‌مهدی؛ اسماعیل‌پور، نادر؛ زنگی‌آبادی، سید‌محمدعلی؛ ۱۳۹۴. ارزیابی رابطه SCS-CN در تعیین میزان رواناب با استفاده از نرم‌افزار Arc-GIS مطالعه موردی: حوضه آبریز سلطانی. اولین کنفرانس بین‌المللی علوم جغرافیایی. شیراز: موسسه عالی علوم و فناوری خوارزمی. ص ۳.
- حیدری، علی؛ امامی، کامران؛ برخوردار، مهرداد؛ مرادی، شادی؛ ۱۳۸۵. پیش‌بینی و هشدار سیلاب. کمیته ملی آبیاری و زهکشی ایران. شابک: ۹۶۴-۶۶۸-۵۸-۵. صص ۱۴۹-۱۵۰.
- درخشنان، شهرام؛ ضیائیان فیروزآبادی، پرویز؛ بخشی‌پور، امیدرضا؛ ۱۳۸۵. بررسی کارآیی مدل‌های مختلف در مکانیابی پخش سیلاب با استفاده از GIS مطالعه موردی حوضه دویرج ایلام. هفتمین سمینار بین‌المللی مهندسی رودخانه. اهواز: سازمان آب و برق خوزستان. دانشگاه شهید چمران اهواز. ص ۶.
- صالحی، اسماعیل؛ رفیعی، یوسف؛ فرزاد بهتاش، محمدرضا؛ آقابابایی، محمدتقی؛ ۱۳۹۲. پنهان‌بندی سیلاب شهری با استفاده از GIS و فرایند تحلیل سلسله‌مراتبی فازی، مطالعه موردی: شهر تهران. محیط‌شناسی. سال سی و نهم. شماره ۳. صص ۱۷۹-۱۸۸.
- عبدی‌نژاد، پرویز؛ حیدری، اصغر؛ حسینی، احمد؛ ۱۳۹۴. تشکیل بانک اطلاعاتی و پایگاه داده‌های مشخصات عمومی رودخانه‌ها و مسیل‌های استان زنجان در محیط GIS. اولین کنفرانس ملی مهندسی فناوری اطلاعات مکانی. تهران: دانشکده مهندسی نقشه‌برداری دانشگاه صنعتی خواجه‌نصیرالدین طوسی. ص ۹.
- عسگری، شمس‌الله؛ احمدی، مهدی؛ همتی، موسی؛ ۱۳۹۴. فرسایش کناری رودخانه چردابول با استفاده از مدل-HEC-RAS و GIS. مجله تحقیقات جغرافیایی. شماره ۳۰. صص ۷۱-۸۰.
- عطایی، محمد؛ ۱۳۸۸. تصمیم‌گیری چنان‌معیاره. انتشارات دانشگاه صنعتی شاهرود. صص ۱۹-۴۵.
- قلی‌نژاد، جواد؛ ظهیری، عبدالرضا؛ دهقانی، میراحمد؛ ۱۳۹۱. شبیه‌سازی یک‌بعدی و دو‌بعدی جریان‌های سیلابی در رودخانه‌ها (مطالعه موردی: رودخانه گرگانرود ایستگاه هیدرومتری آق‌قلاء). مجله پژوهش‌های حفاظت آب و خاک. دوره نوزدهم. شماره چهارم. صص ۱۰۳-۱۱۹.
- گنجی، کامران؛ قره‌چلو، سعید؛ احمدی، احمد؛ ۱۳۹۹. بررسی اثر شاخص‌های مورفو‌لوجیکی رودخانه گرگانرود بر پنهان‌های سیلاب با استفاده از داده‌های سنجش از دور و تحلیل‌های مکانی (منطقه مطالعاتی: شهر آق‌قلاء). نشریه علمی جغرافیا و مخاطرات محیطی. دانشگاه فردوسی مشهد. دوره ۹. شماره ۳ - شماره پیاپی ۳۵. صص ۲۲۵-۲۰۵.
- DOI: 10.22067/GEOEH.2020.67016.0
- نظری‌ها، مهرداد؛ علی، نقی‌خانی؛ قیاسی، بهزاد؛ یوسفی، علی؛ ۱۳۹۲. بررسی عوامل مؤثر بر ریخت‌شناسی (مورفو‌لوجی) آبراهه‌ها و رودخانه‌ها. اولین همایش ملی مهندسی و مدیریت کشاورزی، محیط‌زیست و منابع طبیعی پایدار. همدان، انجمن ارزیابان محیط‌زیست هگمتانه. صص ۶۴۸-۶۵۵.

- hierarchy process and frequency ratio model to flood vulnerable mapping and risk area estimation at Sundarban region, India. *Modeling Earth Systems and Environment*. Springer International Publishing 5(3):1083–1102. DOI: 10.1007/s40808-019-00593-z.
- Chakraborty, S., Mukhopadhyay, S., 2019. Assessing flood risk using analytical hierarchy process (AHP) and geographical information system (GIS): application in Coochbehar district of West Bengal, India. *Natural Hazards*. Springer Netherlands 99(1):247–274. DOI: 10.1007/s11069-019-03737-7.
- Di Baldassarre, G., Uhlenbrook, S., 2012. Is the current flood of data enough? A treatise on research needs for the improvement of flood modelling. *Hydrological Processes* 26(1):153–158. DOI: 10.1111/j.120194449
- Ganji, K., Gharachelou, S., Ahmadi, A., 2019. Urban's river flood analysing using sentinel-1 data case study: (gorganrood, aq'qala). *International Archives of the Photogrammetry, Remote Sensing and Spatial Information Sciences - ISPRS Archives* 42(4/W18):415–419. DOI: 10.5194/isprs-archives-XLII-4-W18-415-2019
- Pradhan, B., 2009. Flood susceptible mapping and risk area delineation using logistic regression, GIS and remote sensing. *Journal of Spatial Hydrology*. *Journal of Spatial Hydrology* 9(2):1–18.
- Sadek, M., Li, X., 2019. Low-Cost Solution for Assessment of Urban Flash Flood Impacts Using Sentinel-2 Satellite Images and Fuzzy Analytic Hierarchy Process: A Case Study of Ras Ghareb City, Egypt. *Advances in Civil Engineering* 2019. DOI: 10.1155/2019/2561215
- Xu, H., 2006. Modification of normalised difference water index (NDWI) to enhance open water features in remotely sensed imagery. *International Journal of Remote Sensing* 27(14):3025–3033. DOI: 10.1080/01431160600589179

